

剛性マトリックス法による立体トラス橋の温度応力

北海道大学工学部 正員 渡辺 昇
 北海道大学工学部 ○正員 佐藤 告一
 北海道大学工学部 正員 林川俊郎

1. まえがき

近年、橋梁構造物の大型化が進むにつれて、熱応力の解析が設計上重要視されるようになってきた。特に、立体構造物としての熱応力解析が必要と思われる。ここでは、立体トラス橋が温度変化を受ける場合について解析しようとするものである。解析方法としては大別して応力法と変形法があるが、マトリックス法は熱応力解析にきわめて有効であるので、本報告では変形法による剛性マトリックス法を用いて解析するものである。

2. 温度応力解析

トラスにおいて、静定構造物の場合は熱歪を受けても各部材は变形を生ずるだけで内部応力は生じない。不静定構造物の場合は熱歪を受けると各部材には応力、变形が生ずる。

今、簡単なトラス構造物について、その解析方法を考える。

図-1のように、静定構造物では熱歪を受けても变形を生ずるだけで内部応力は生じない。つまり、部材1-2が加熱され、部材2-3が常温であれば、部材1-2は膨脹し、部材2-3は不变である。

図-2のようだ、もう一本部材を加えると構造物は不静定構造物となる。従って、例えば、部材1-2が加熱されると、各部材には応力、変位が生ずる。このような場合の解析方法は次のように2つの荷重状態を考えることにより処理できる。

(i) 状態1 加熱する前に部材1-2を外しておく。加熱するとこの部材は伸びようとするが、これを完全に阻止するように節点2に圧縮力 P_{1-2}^* を加える。当然、同じ大きさの反力を節点1に生ずる。もし、他の部材2-3がまだ達った温度に加熱されたならば、 P_{2-3}^* を節点2に加えて自由膨脹を防ぐようにする。このようにして、節点2をひとつの位置に保つようにする。これらの荷重によつて生ずる部材力を状態1とする。部材1-2と部材2-3の両方が熱せられた場合を考えると $S_{1-2}^{(1)} = -P_{1-2}^*$, $S_{2-3}^{(1)} = -P_{2-3}^*$ となり、 S はこの場合圧縮力となる。(図-3参照)。

ここで、状態1における部材力を計算すると次のようになる。

部材1-2が熱せられ、他の部材より $\Delta T^{\circ}\text{C}$ 温度が高くなつたとする。又、線膨脹係数とすれば、熱による歪は $\varepsilon_T = \alpha \cdot \Delta T$ とえられる。これによる部材の伸びは $\Delta L = \varepsilon_T \cdot L$ となる。この伸びを押さえるのに必要な P_{1-2}^* は $P_{1-2}^* = A \cdot \varepsilon_T = A \cdot E \cdot \varepsilon_T = A \cdot E_T \cdot \alpha \cdot \Delta T$ である。この式の E_T は温度上昇率のヤング率である。鋼の場合の線膨脹係数は $\alpha = 12 \times 10^{-6}/\text{C}$ である。

(ii) 状態2 次に、部材を節点2に接合してひとつの構造にする。この構造に状態1で求めた節点荷重 P_{1-2}^* , P_{2-3}^* を逆方向に加える。これを状態2とする。(図-4参照)。注意事項として次の2点に留意すべきである。

(a) 状態2では不静定構造であるので、 P_{1-2}^* などの荷重は状態1と異なり、すべての構成部材に応力、変位が生ずる。

(b) 節点2における外力は、状態1と状態2で打ち消しあって熱応力だけが残る。

状態2の部材力は、 $S_{1-2}^{(2)}$, $S_{2-3}^{(2)}$, $S_{2-4}^{(2)}$ と求められ、同時に変位も求められる。結局、自己平衡系の部材力は状態1と状態2の和である。 $S_{1-2} = S_{1-2}^{(1)} + S_{1-2}^{(2)}$, $S_{2-3} = S_{2-3}^{(1)} + S_{2-3}^{(2)}$, $S_{2-4} = S_{2-4}^{(1)} + S_{2-4}^{(2)}$ となる。変位は状態2の変形状態

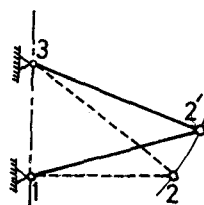


Fig-1

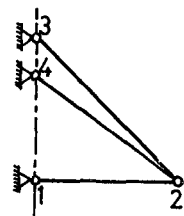


Fig-2

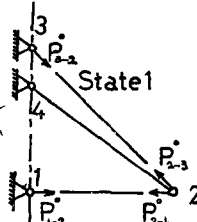


Fig-3

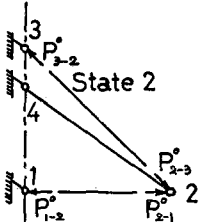


Fig-4

から求められる。また、熱応力以外の外荷重がある場合は、加熱による場合の値と加え合せればよい。
以上の事項をマトリックス法で表示すれば次のようになる。

(i) トラス部材要素が熱を受けた膨脹(あるいは収縮)しうるとき、この部材要素を熱を受ける以前の状態にしておくために節点に加えるべき力を求める。それには拘束が全くなれる場合の部材要素 j の節点の変位 w_j を求める必要がある。図-5のようないくつかの部材要素 j を考へ、温度は θ 要素内ごとにすると、熱変形の性質がう

$$\begin{aligned}\bar{u}_2 - \bar{u}_1 &= \alpha \cdot \Delta T \cdot (x_2 - x_1) \\ \bar{v}_2 - \bar{v}_1 &= \alpha \cdot \Delta T \cdot (y_2 - y_1)\end{aligned}\quad \left\{\right. \quad (1)$$

が成立する。ここで、 u_i, v_i は節点 i の x 方向、 y 方向の変位である。

式(1)を行列表示すれば

$$w_j = \begin{pmatrix} u_1 \\ v_1 \\ u_2 \\ v_2 \end{pmatrix} = \begin{pmatrix} u_1 \\ v_1 \\ u_1 \\ u_2 \end{pmatrix} + \begin{pmatrix} 0 \\ 0 \\ \alpha \cdot \Delta T \cdot (x_2 - x_1) \\ \alpha \cdot \Delta T \cdot (y_2 - y_1) \end{pmatrix} = w'_j + w''_j \quad (2)$$

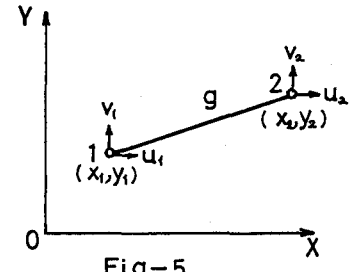


Fig-5

節点変位が零の状態にするためには、要素 j の基準座標系における剛性マトリックスを K_g とすれば、

$$P_g^{(1)} = -K_g w_j^{(1)} \quad (3) \text{ なる節点力を加えればよい。式(3)に式(2)を代入すれば、}$$

$$P_g^{(1)} = -K_g w'_j - K_g w_j'' \quad (4) \text{ となるが、右辺の第一項は剛体変位なので零となり、結局、}$$

$$P_g^{(1)} = -K_g w_j'' \quad (5) \text{ となる。この操作を全ての要素について行なうと、变形を拘束するためには必要な節点力が全て求められる。部材要素 } j \text{ の内力は式(5)で求まる } P_g^{(1)} \text{ に前がう座標変換マトリックス } T \text{ を掛けねば求まる。} \quad P_g^{(1)} = T \cdot P_g^{(1)} = -T \cdot K_g w_j'' \quad (6)$$

(ii) (i)で求めた節点力(節点荷重)の符号を変えたものがト拉斯に加わっていふとし、通常のマトリックス演算を行ない、変位、応力を求める。

$$\mathbb{X} + \mathbb{X}_0 = K \mathbb{U} \quad (7)$$

ここで、 K はト拉斯全体の剛性マトリックスである。
 \mathbb{X} は外荷重ベクトル、 \mathbb{X}_0 は(i)で求まる拘束節点力式(5)

の符号を変えたもの、即ち、 $-P_g^{(1)} = +K_g w_j''$ で求まる温度変化による外荷重ベクトルである。式(7)より、未知節点変位は、次のようにならざる。

$$\mathbb{U} = K^{-1} (\mathbb{X} + \mathbb{X}_0) \quad (8), \text{ また、断面力(応力)は } P_g^{(2)} = K_g \mathbb{U}_g. \quad (9)$$

$$\begin{aligned}P_g^{(2)} &= T \cdot K_g \mathbb{U}_g \quad (10) \text{ である。故に、(i)と(ii)を重ね合せることうより全體の断面力、変位} \\ \text{が求まる。} \quad P_g^{(2)} &= P_g^{(1)} + \mathbb{P}_g^{(2)} \quad (11), \quad \mathbb{U}_g = \mathbb{U}_g^{(2)} \quad (12)\end{aligned}$$

3. 数値計算例

ここでは、図-6の立體ト拉斯モデルを用いて計算例を示す。6パネルで1パネル7m、幅員7m、高さ7mの寸法である。各部材の横断面積は上横構造水平域および斜傾域((25)～(31), (39)～(50))を30cm²とし、対傾構((101)～(114))を40cm²とし、他の部材はすべて100cm²とした計算を行なった。(表-1)。

x, y, z の方向は

図-7のようになる。

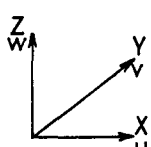


Fig-7

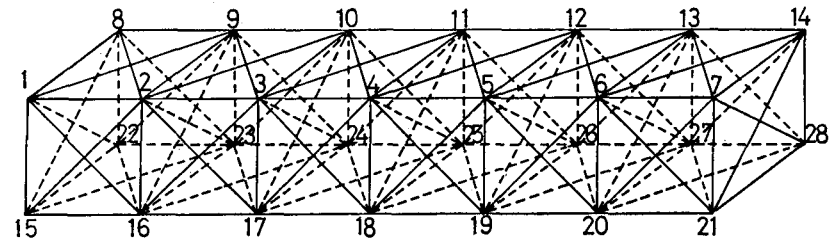


Fig-6

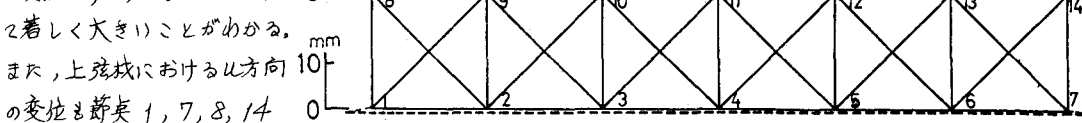
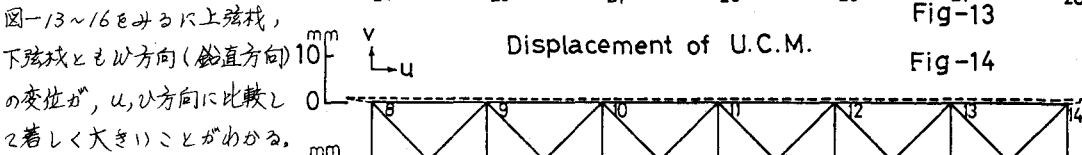
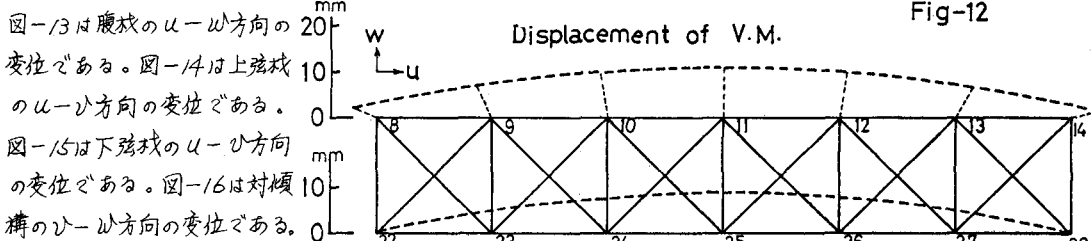
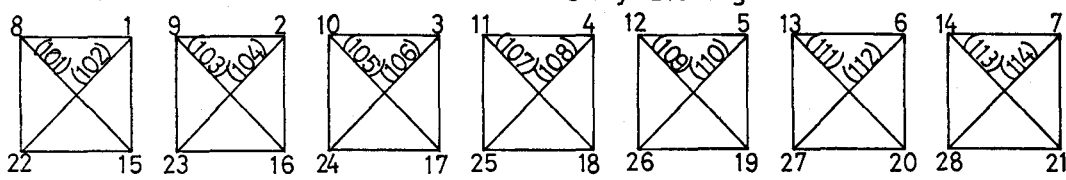
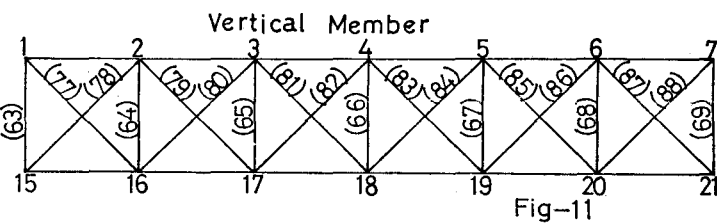
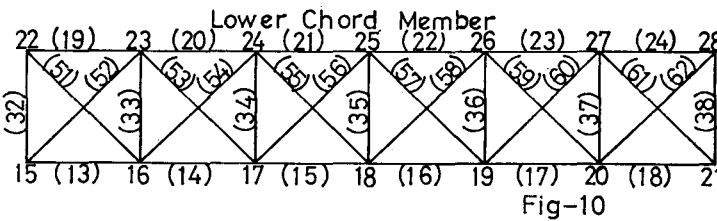
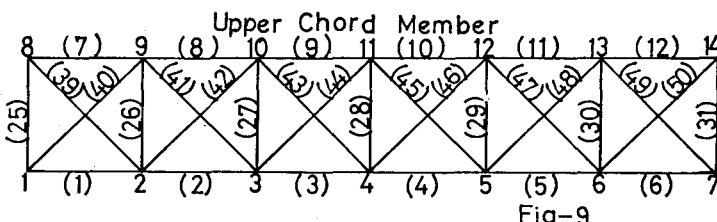
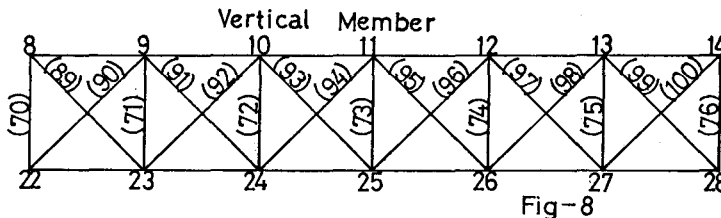
u: x方向変位, v: y方向変位,
w: z方向変位である。

支承条件は、図-6における節点
15, 節点21, 節点22, 節点28の
4節点をヒンジ支承とした。

また、温度変化は全部柱+20°C
とした。図-8, 9, 10, 11, 12Kは
垂直柱(腹柱), 上弦柱, 下弦柱
垂直柱(腹柱)の節点番号を示し、
()内は要素番号を示している。
即ち, 28節点で要素数114の立体
トラスである。

部材	部材番号	断面積(cm ²)
上弦柱	(1)~(12)	100
下弦柱	(13)~(24)	100
上横構水平柱	(25)~(31)	30
上横構斜柱	(39)~(50)	30
下横構水平柱	(32)~(38)	100
下横構斜柱	(51)~(62)	100
垂直柱	(63)~(76)	100
斜柱	(77)~(100)	100
対煩構	(101)~(114)	40

表-1 断面諸元



でかなり大きい値となる。

図-17は垂直弦の応力を示したものであり、図-18は上弦弦の応力を示したものである、

図-19は下弦弦の応力を示したものであり、図-20は対

傾構の応力を示したものである。図-17

~20をみると、上弦弦は $43\sim-57$ %/cm² 前後である。下弦弦は $-450\sim-535$ %/cm² 前後である。

上横構水平弦は $-63\sim-86$ %/cm² 前後である。上横構斜弦は

$-5\sim-9$ %/cm² 前後である。下横構水平

弦は $198\sim279$ %/cm² 前後である。

下横構斜弦は $-148\sim-281$ %/cm² 前後である。

垂直弦は $68\sim87$ %/cm² 前後である。

斜弦は $-65\sim-78$ %/cm² 前後である。対傾

構は $77\sim87$ %/cm² 前後である。また、支点の反力は

次のようである。(ton)

支点	x方向	y方向	z方向
15	-52.2	-27.8	-100.3
21	+52.2	-27.8	-100.3
22	-52.2	+27.8	-100.3
28	+52.2	+27.8	-100.3

z方向に大きい支点反力を

が生じている。

キ. あとがき

本報告は立体トラス橋

の温度変化による変位、応力を剛性マトリックス法により解析したものである。支持条件、一部分の部材が温度変化を受ける場合、断面諸元などの違いによってそれぞれ異った値を示すがそれらにつけては別の機会に表したします。他の橋梁構造物（連続橋、ラーメン、ランガード橋、ローゼ橋、フィーレンディールなど）についても温度変化および温度差（温度は梁の長さ方向には一定であるが、高さ方向には直線的に変化する場合）のある場合の解析も別の機会に譲ります。計算には北海道大学大型計算機センターのFACOM230-75を使用した。

参考文献

- 吉織雅夫 監訳，“マトリックス法による構造力学の解法”，(1967)，培風館
- 吉村信敏，“二次元応力解析のプログラミングにつけてⅡ”，(1970)，マトリックス構造解析法講座，日本鋼構造協会

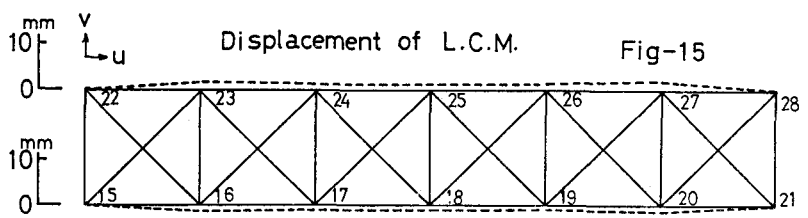


Fig-15

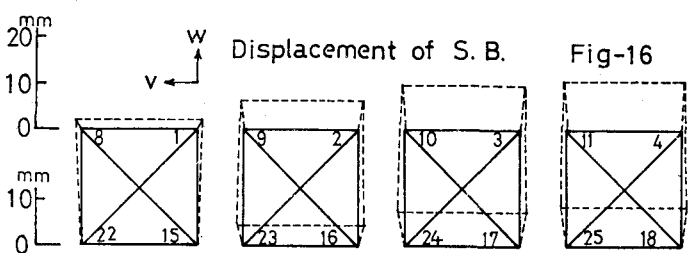


Fig-16

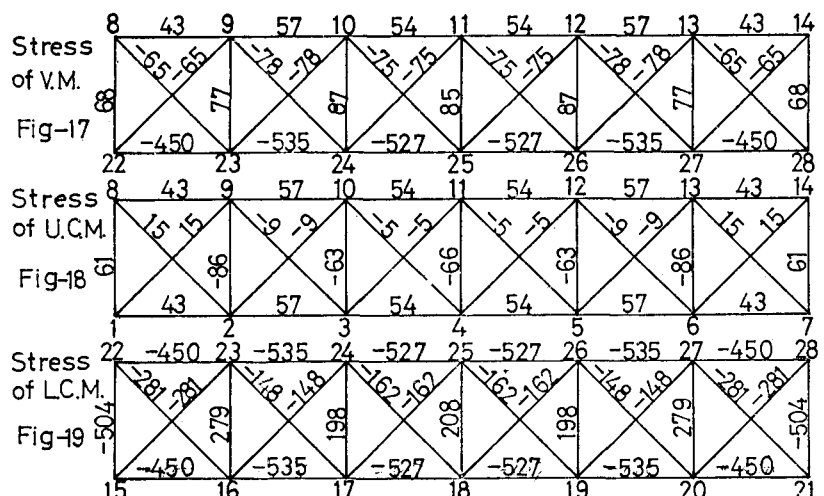


Fig-17

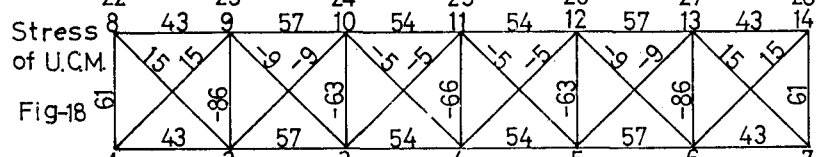


Fig-18

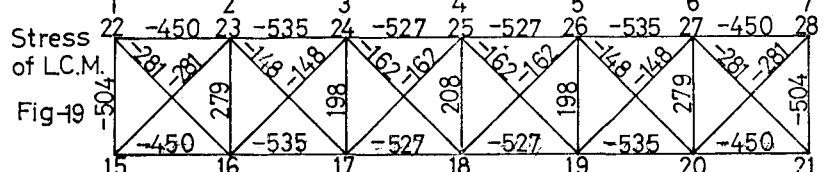


Fig-19

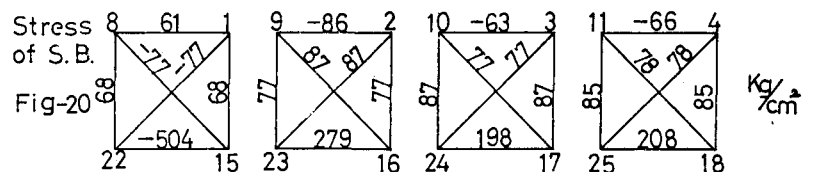


Fig-20